

# Eléments finis en dimension $N \geq 2$

François Alouges

1er Avril 2014

$\Omega$  ouvert borné de  $\mathbb{R}^N$  et  $f \in L^2(\Omega)$ .

$$\begin{cases} -\Delta u = f & \text{dans } \Omega \\ u = 0 & \text{sur } \partial\Omega. \end{cases}$$

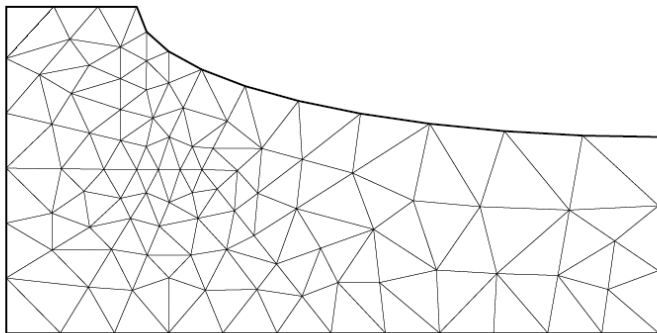
Il existe une solution unique dans  $H_0^1(\Omega)$ .

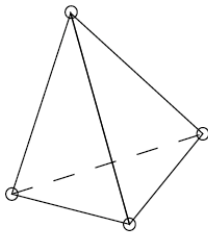
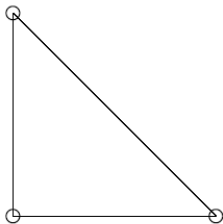
Dans tout ce qui suit nous supposons que le domaine  $\Omega$  est **polyédrique** (polygonal si  $N = 2$ ), afin que nous puissions le mailler exactement.

- Faire une formulation variationnelle du problème ( $V$  Hilbert, Lax-Milgram, etc.)
- $V_h \subset V$  de dimension finie
- Poser **la même** formulation variationnelle dans  $V_h$
- C'est un système linéaire!
- Estimation d'erreur

$$\begin{aligned}\|u - u_h\|_V &\leq C \inf_{v_h \in V_h} \|u - v_h\|_V \quad (\text{Lemme de Céa}) \\ &\leq C \|u - r_h(u)\|_V \quad (r_h = \text{interpolé dans } V_h) \\ &\leq Ch \|u''\|_{L^2}\end{aligned}$$

Exemple de maillage en dimension  $N = 2$ :





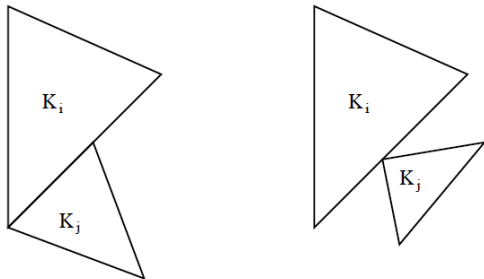
Les mailles sont des  $N$ -simplexes (triangles en 2-D, tétraèdres en 3-D).

Soit  $\Omega$  un ouvert connexe polyédrique de  $\mathbb{R}^N$ . **Un maillage ou une triangulation** de  $\bar{\Omega}$  est un ensemble  $\mathcal{T}_h$  de  $N$ -simplexes (non dégénérés)  $(K_i)_{1 \leq i \leq n}$  qui vérifient

- 1  $K_i \subset \bar{\Omega}$  et  $\bar{\Omega} = \cup_{i=1}^n K_i$ ,
- 2 en dimension  $N = 2$ , l'intersection  $K_i \cap K_j$  de deux triangles distincts est soit vide, soit réduite à un sommet commun, soit à une arête commune **entière** (en dimension  $N = 3$ , l'intersection est soit vide, soit un sommet commun, soit une face commune entière, soit une arête commune entière).

Les **sommets (ou noeuds)** du maillage  $\mathcal{T}_h$  sont les sommets des  $N$ -simplexes  $K_i$  qui le composent. Par convention, le paramètre  $h$  désigne le maximum des diamètres des  $N$ -simplexes  $K_j$ .

# Situation interdite



Maillage non-conforme

- $N = 2, k = 1,$

$$\mathbb{P}_1 = \text{vect}\{1, x, y\}, \text{ dimension} = 3$$

- $N = 2, k = 2,$

$$\mathbb{P}_2 = \text{vect}\{1, x, y, x^2, xy, y^2\}, \text{ dimension} = 6$$

- $N = 2, k = 3,$

$$\mathbb{P}_3 = \text{vect}\{1, x, y, x^2, xy, y^2, x^3, x^2y, xy^2, y^3\}, \text{ dimension} = 10$$

- $N = 3, k = 1,$

$$\mathbb{P}_1 = \text{vect}\{1, x, y, z\}, \text{ dimension} = 4$$

- $N = 3, k = 2,$

$$\mathbb{P}_2 = \text{vect}\{1, x, y, z, x^2, xy, xz, y^2, yz, z^2\}, \text{ dimension} = 10$$



- $N = 2, k = 1,$

$$\mathbb{P}_1 = \text{vect}\{1, x, y\}, \text{ dimension} = 3$$

- $N = 2, k = 2,$

$$\mathbb{P}_2 = \text{vect}\{1, x, y, x^2, xy, y^2\}, \text{ dimension} = 6$$

- $N = 2, k = 3,$

$$\mathbb{P}_3 = \text{vect}\{1, x, y, x^2, xy, y^2, x^3, x^2y, xy^2, y^3\}, \text{ dimension} = 10$$

- $N = 3, k = 1,$

$$\mathbb{P}_1 = \text{vect}\{1, x, y, z\}, \text{ dimension} = 4$$

- $N = 3, k = 2,$

$$\mathbb{P}_2 = \text{vect}\{1, x, y, z, x^2, xy, xz, y^2, yz, z^2\}, \text{ dimension} = 10$$

# Treillis d'ordre $k$

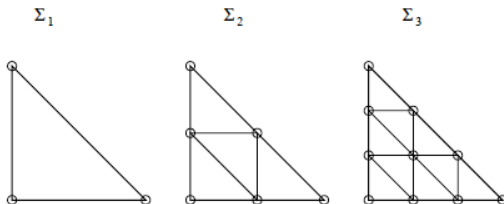
On appelle **treillis d'ordre  $k$**  l'ensemble (fini)

$$\Sigma_k = \left\{ x \in K \text{ tel que } \lambda_j(x) \in \left\{ 0, \frac{1}{k}, \dots, \frac{k-1}{k}, 1 \right\} \text{ pour } 1 \leq j \leq N \right\}$$

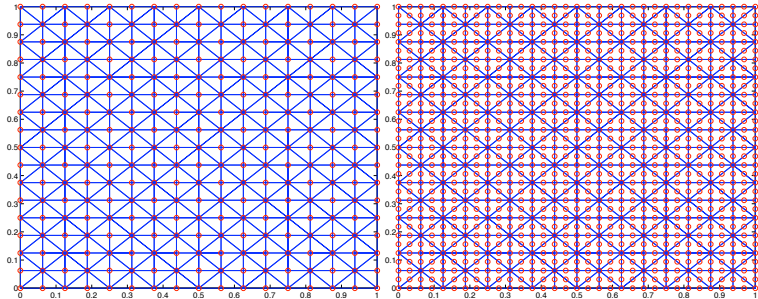
dont les points sont notés  $(\sigma_j)_{1 \leq j \leq n_k}$ .

Pour  $k = 1$  il s'agit de l'ensemble des sommets de  $K$ , et pour  $k = 2$  des sommets et des points milieux des arêtes reliant deux sommets.

**Dimension  $N = 2$**



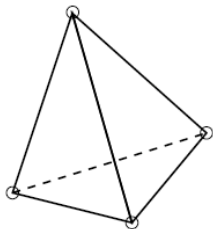
# Exemples de maillages



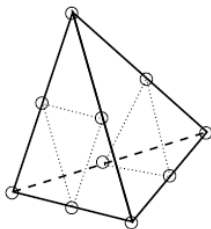
Maillages P1 et P2

## Dimension $N = 3$

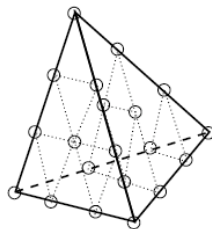
$\Sigma_1$



$\Sigma_2$



$\Sigma_3$



## Unisolvance de $\Sigma_k$ pour $\mathbb{P}_k$

**Lemme** Tout polynôme de  $\mathbb{P}_k$  est déterminé de manière unique par ses valeurs aux points  $(\sigma_j)_{1 \leq j \leq n_k}$  du treillis  $\Sigma_k$ . Autrement dit, il existe une base  $(\psi_j)_{1 \leq j \leq n_k}$  de  $\mathbb{P}_k$  telle que

$$\psi_j(\sigma_i) = \delta_{ij} \quad 1 \leq i, j \leq n_k.$$

# Continuité à l'interface entre 2 mailles

**Lemme** Soit  $K$  et  $K'$  deux  $N$ -simplexes ayant une **face commune**  $\Gamma = \partial K \cap \partial K'$ . Alors, leur treillis d'ordre  $k \geq 1$ ,  $\Sigma_k$  et  $\Sigma'_k$ , **coïncident** sur cette face  $\Gamma$ . De plus, étant donné  $p_K$  et  $p_{K'}$  deux polynômes de  $\mathbb{P}_k$ , la fonction  $v$  définie par

$$v(x) = \begin{cases} p_K(x) & \text{si } x \in K \\ p_{K'}(x) & \text{si } x \in K' \end{cases}$$

est **continue** sur  $K \cup K'$ , si et seulement si  $p_K$  et  $p_{K'}$  ont des valeurs qui coïncident aux points du treillis sur la face commune  $\Gamma$ .

**Preuve.** Par construction les treillis  $\Sigma_k$  et  $\Sigma'_k$  coïncident sur leur face commune  $\Gamma$ . Si les polynômes  $p_K$  et  $p_{K'}$  coïncident aux points de  $\Sigma_k \cap \Gamma$ , alors par application du Lemme précédent ils sont égaux sur  $\Gamma$ , ce qui prouve la continuité de  $v$ .

**Définition 6.3.5.** Etant donné un maillage  $\mathcal{T}_h$  d'un ouvert  $\Omega$ , la méthode des éléments finis  $\mathbb{P}_k$ , ou **éléments finis triangulaires de Lagrange d'ordre  $k$** , associée à ce maillage, est définie par l'espace discret

$$V_h = \{v \in C(\overline{\Omega}) \text{ tel que } v|_{K_i} \in \mathbb{P}_k \text{ pour tout } K_i \in \mathcal{T}_h\}.$$

On appelle **noeuds des degrés de liberté** l'ensemble des points (distincts)  $(\hat{a}_i)_{1 \leq i \leq n_{dl}}$  des treillis d'ordre  $k$  de chacun des  $N$ -simplexes  $K_i \in \mathcal{T}_h$ .

On appelle **degrés de liberté** d'une fonction  $v \in V_h$  l'ensemble des valeurs de  $v$  en ces noeuds  $(\hat{a}_i)_{1 \leq i \leq n_{dl}}$ .

On définit aussi le sous-espace  $V_{0h}$  par

$$V_{0h} = \{v \in V_h \text{ tel que } v = 0 \text{ sur } \partial\Omega\}.$$

**Proposition 6.3.7** L'espace  $V_h$  est un sous-espace de  $H^1(\Omega)$  dont la dimension est le nombre de degrés de liberté, et il existe une base  $(\phi_i)_{1 \leq i \leq n_{dl}}$  de  $V_h$  définie par

$$\phi_i(\hat{\mathbf{a}}_j) = \delta_{ij} \quad 1 \leq i, j \leq n_{dl},$$

telle que

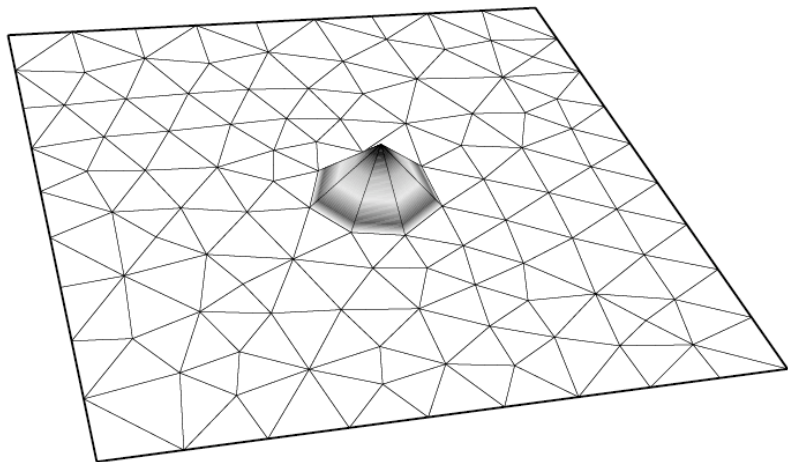
$$v(x) = \sum_{i=1}^{n_{dl}} v(\hat{\mathbf{a}}_i) \phi_i(x).$$

**Preuve:** par simple combinaison des Lemmes précédents.

**Remarque.** L'appellation “**éléments finis de Lagrange**” veut dire que toute fonction de l'espace  $V_h$  est caractérisée par ses **valeurs ponctuelles** (ses degrés de liberté) aux noeuds  $(\hat{\mathbf{a}}_j)$ . On parle **d'éléments finis de Hermite** si les degrés de liberté sont les valeurs de la fonction et de ses dérivées partielles d'ordre 1.



Fonction de base  $\mathbb{P}_1$  en dimension  $N = 2$ .



On résout le problème modèle par la méthode des éléments finis  $\mathbb{P}_k$ .

La formulation variationnelle de l'approximation interne est

$$\text{trouver } u_h \in V_{0h} \text{ tel que } \int_{\Omega} \nabla u_h \cdot \nabla v_h \, dx = \int_{\Omega} f v_h \, dx \quad \forall v_h \in V_{0h}.$$

On décompose  $u_h$  sur la base des  $(\phi_j)_{1 \leq j \leq n_{dl}}$  et on prend  $v_h = \phi_i$  ce qui donne

$$\sum_{j=1}^{n_{dl}} u_h(\hat{a}_j) \int_{\Omega} \nabla \phi_j \cdot \nabla \phi_i \, dx = \int_{\Omega} f \phi_i \, dx.$$

**Vecteur inconnu:**  $U_h = (u_h(\hat{\mathbf{a}}_j))_{1 \leq j \leq n_{dl}}$

**Second membre:**  $b_h = \left( \int_{\Omega} f \phi_i \, dx \right)_{1 \leq i \leq n_{dl}}$

**Matrice de rigidité:**  $\mathcal{K}_h = \left( \int_{\Omega} \nabla \phi_j \cdot \nabla \phi_i \, dx \right)_{1 \leq i, j \leq n_{dl}}$

La formulation variationnelle est équivalente au système linéaire

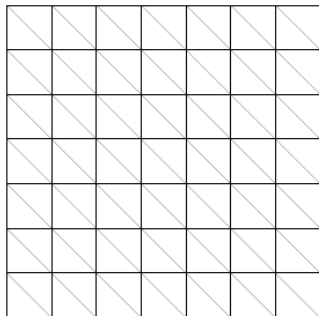
$$\mathcal{K}_h U_h = b_h.$$

En général, l'intersection des supports de  $\phi_j$  et  $\phi_i$  est vide et la plupart des coefficients de  $\mathcal{K}_h$  sont nuls. **La matrice de rigidité  $\mathcal{K}_h$  est donc creuse.**

# Taille des matrices

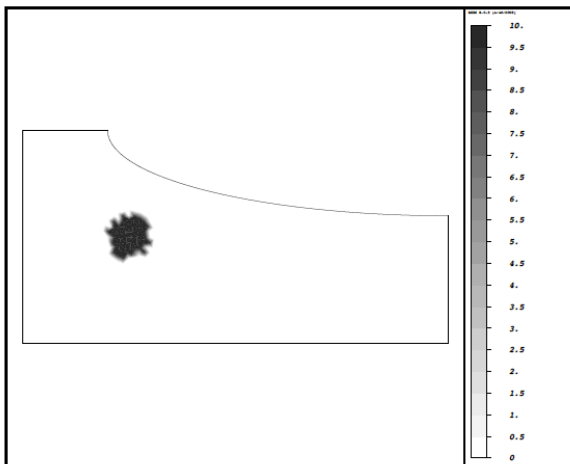
La matrice de rigidité  $\mathcal{K}_h$  est creuse **mais elle est de grande taille!**

Exemple: maillage régulier  $n \times n$  en dimension  $N = 2$

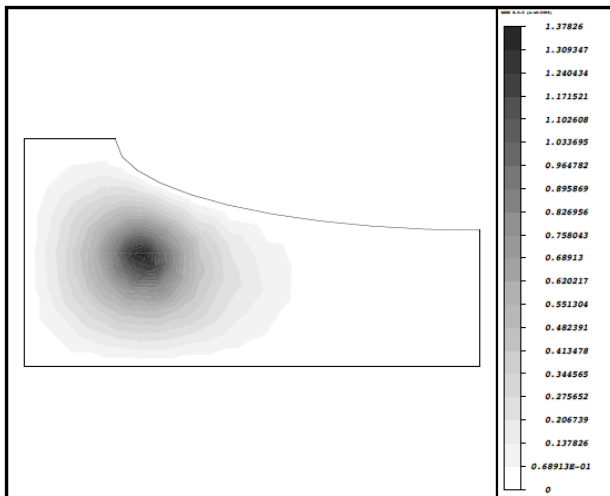


Matrice  $\mathcal{K}_h$  d'ordre  $n^2$  (ou bien  $n^3$  en dimension  $N = 3$ ).  
**Il faut optimiser la résolution du système linéaire !**

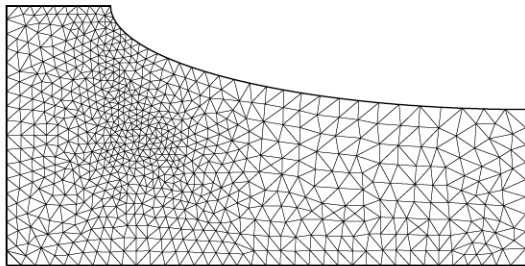
Terme source  $f$



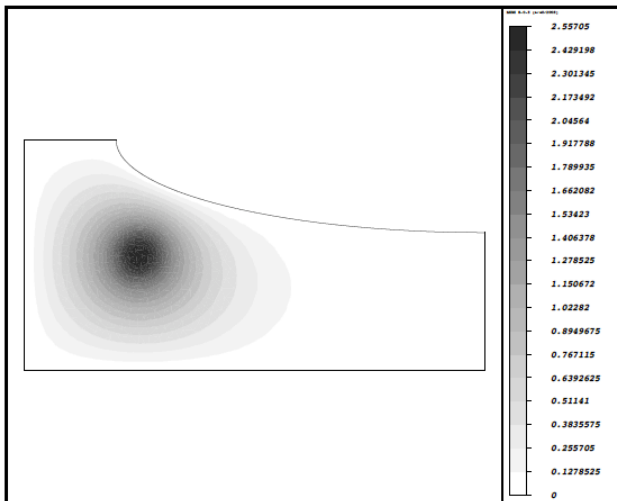
## Solution approchée $u_h$ pour le maillage "grossier"



Maillage triangulaire plus fin que le précédent



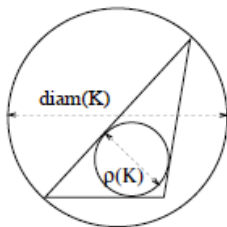
Solution approchée  $u_h$  pour le maillage "fin"





## 6.3.2 Convergence et estimation d'erreur

Diamètre  $h_K = \text{diam}(K)$  et rondeur  $\rho(K)$  d'un triangle  $K$



**Définition 6.3.11** Soit  $(\mathcal{T}_h)_{h>0}$  une suite de maillages de  $\Omega$ . On dit qu'il s'agit d'une **suite de maillages réguliers** si

- 1 la suite  $h = \max_{K_i \in \mathcal{T}_h} \text{diam}(K_i)$  tend vers 0,
- 2 il existe une constante  $C$  telle que, pour tout  $h > 0$  et tout  $K \in \mathcal{T}_h$ ,

$$1 \leq \frac{\text{diam}(K)}{\rho(K)} \leq C.$$

**Théorème 6.3.13** Soit  $(\mathcal{T}_h)_{h>0}$  une suite de maillages réguliers de  $\Omega$ . Soit  $u \in H_0^1(\Omega)$ , la solution exacte, et  $u_h \in V_{0h}$ , la solution approchée par éléments finis  $\mathbb{P}_k$ .

La **méthode des éléments finis  $\mathbb{P}_k$  converge**, c'est-à-dire que

$$\lim_{h \rightarrow 0} \|u - u_h\|_{H^1(\Omega)} = 0.$$

De plus, si  $u \in H^{k+1}(\Omega)$  et si  $k + 1 > N/2$ , alors on a **l'estimation d'erreur**

$$\|u - u_h\|_{H^1(\Omega)} \leq Ch^k \|u\|_{H^{k+1}(\Omega)}$$

**Remarque.** Le Théorème 6.3.13 s'applique à toute méthode d'éléments finis de type Lagrange (aussi pour les éléments finis rectangulaires).

Pour  $N = 2$  ou  $N = 3$ , la condition  $k + 1 > N/2$  est **satisfaite** dès que  $k \geq 1$ .

## Démonstration du Théorème 6.3.13: idée principale

Lemme 6.1.2 de Céa + interpolation ci-dessous.

**Définition d'un opérateur d'interpolation  $r_h$ .** Pour toute fonction **continue**  $v$  on définit son interpolée

$$r_h v(x) = \sum_{i=1}^{n_{dl}} v(\hat{a}_i) \phi_i(x)$$

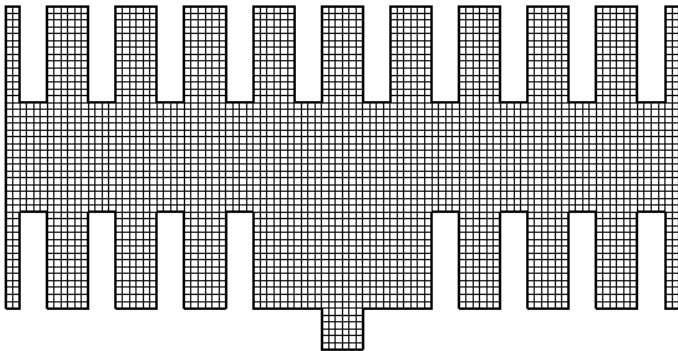
avec  $(\hat{a}_i)_{1 \leq i \leq n_{dl}}$  les noeuds des degrés de liberté et  $(\phi_i)_{1 \leq i \leq n_{dl}}$  la base de  $V_{0h}$  de la méthode des éléments finis  $\mathbb{P}_k$ .

**Proposition 6.3.16 (admise)** Soit  $(\mathcal{T}_h)_{h>0}$  une suite de maillages réguliers de  $\Omega$ . On suppose que  $k + 1 > N/2$ . Alors, pour tout  $v \in H^{k+1}(\Omega)$  l'interpolée  $r_h v$  est bien définie, et il existe une constante  $C$ , indépendante de  $h$  et de  $v$ , telle que

$$\|v - r_h v\|_{H^1(\Omega)} \leq Ch^k \|v\|_{H^{k+1}(\Omega)}.$$

# Éléments finis rectangulaires

Exemple de maillage rectangulaire en dimension  $N = 2$



## Définition 6.3.21

Soit  $\Omega$  un ouvert connexe polyédrique de  $\mathbb{R}^N$ . Un **maillage rectangulaire** de  $\bar{\Omega}$  est un ensemble  $\mathcal{T}_h$  de  $N$ -rectangles (non dégénérés)  $(K_i)_{1 \leq i \leq n}$  qui vérifient

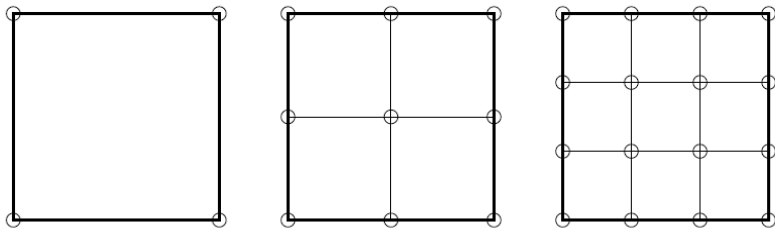
- 1  $K_i \subset \bar{\Omega}$  et  $\bar{\Omega} = \cup_{i=1}^n K_i$ ,
- 2 en dimension  $N = 2$ , l'intersection  $K_i \cap K_j$  de deux rectangles distincts est soit vide, soit un sommet commun, soit une arête commune entière (en dimension  $N = 3$  il faut ajouter soit une face commune entière).

Les **sommets (ou noeuds)** du maillage  $\mathcal{T}_h$  sont les sommets des  $N$ -rectangles  $K_i$  qui le composent. Par convention, le paramètre  $h$  désigne le maximum des diamètres des  $N$ -rectangles  $K_i$ .

Pour tout entier  $k \geq 1$  on définit le **treillis d'ordre  $k$**  du  $N$ -rectangle  $K$  comme l'ensemble (fini)

$$\Sigma_k = \left\{ x \in K \text{ tel que } \frac{x_j - l_j}{L_j - l_j} \in \left\{ 0, \frac{1}{k}, \dots, \frac{k-1}{k}, 1 \right\} \text{ pour } 1 \leq j \leq N \right\}.$$

Pour  $k = 1$  il s'agit de l'ensemble des sommets de  $K$ .



- $N = 2, k = 1,$

$$\mathbb{Q}_1 = \text{vect}\{1, x, y, xy\}, \text{ dimension} = 4$$

- $N = 2, k = 2,$

$$\mathbb{Q}_2 = \text{vect}\{1, x, y, xy, x^2, x^2y, xy^2, y^2, x^2y^2\}, \text{ dimension} = 9$$

- $N = 2, k = 3,$

$$\mathbb{Q}_3 = \text{vect}\{1, x, y, xy, x^2, x^2y, xy^2, y^2, x^2y^2, x^3, x^3y, \\ x^3y^2, xy^3, x^2y^3, x^3y^3, y^3\}, \text{ dimension} = 16$$

idem en  $N = 3...$

**Lemme 6.3.22** Soit  $K$  un  $N$ -rectangle. Soit un entier  $k \geq 1$ . Alors, tout polynôme de  $\mathbb{Q}_k$  est **déterminé de manière unique** par ses valeurs aux points du treillis  $\Sigma_k$  d'ordre  $k$ .



**Définition 6.3.25.** Etant donné un maillage rectangulaire  $\mathcal{T}_h$  d'un ouvert  $\Omega$ , la méthode des éléments finis  $\mathbb{Q}_k$  est définie par l'espace discret

$$V_h = \{v \in \mathcal{C}(\overline{\Omega}) \text{ tel que } v|_{K_i} \in \mathbb{Q}_k \text{ pour tout } K_i \in \mathcal{T}_h\}.$$

On appelle noeuds des **degrés de liberté** l'ensemble des points  $(\hat{a}_i)_{1 \leq i \leq n_{dl}}$  des treillis d'ordre  $k$  de chacun des  $N$ -rectangles  $K_i \in \mathcal{T}_h$ .

**Proposition 6.3.26** L'espace  $V_h$  est un sous-espace de  $H^1(\Omega)$  dont la dimension est le nombre de degrés de liberté  $n_{dl}$ . De plus, il existe une base de  $V_h$   $(\phi_i)_{1 \leq i \leq n_{dl}}$  définie par

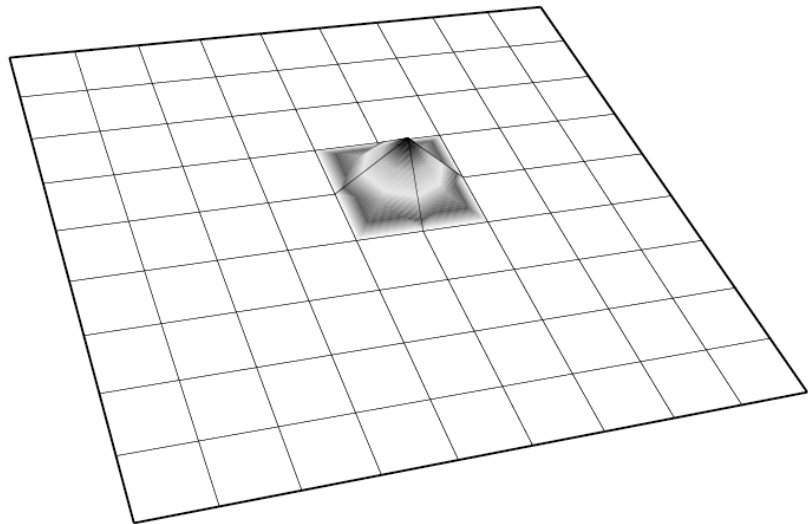
$$\phi_i(\hat{a}_j) = \delta_{ij} \quad 1 \leq i, j \leq n_{dl},$$

telle que

$$v(x) = \sum_{i=1}^{n_{dl}} v(\hat{a}_i) \phi_i(x).$$

**Remarque.** Il s'agit encore d'éléments finis de Lagrange.  
Même résultat de convergence que pour les éléments finis triangulaires.

Fonction de base  $\mathbb{Q}_1$  en dimension  $N = 2$ .



# 13.1 Résolution des systèmes linéaires

**Problème:** résoudre le système linéaire dans  $\mathbb{R}^n$

$$Ax = b \quad \text{avec } A \in \mathcal{M}_n(\mathbb{R}) \quad \text{et } n \text{ grand !}$$

On veut des algorithmes numériques **efficaces et stables !**

- Efficacité = minimiser le temps de calcul et la place en mémoire.
- Stabilité = ne pas amplifier les erreurs d'arrondi.

Deux types de méthodes:

- Méthodes directes (solution exacte en un nombre fini d'opérations).
- Méthodes itératives (suite de solutions approchées).

**Définition 13.1.1** norme matricielle **subordonnée**

$$\|A\| = \max_{x \in \mathbb{C}^n} \frac{\|Ax\|}{\|x\|}.$$

**Définition 13.1.9** On appelle **conditionnement** d'une matrice  $A \in \mathcal{M}_n(\mathbb{C})$ , relatif à une norme matricielle subordonnée, la valeur définie par

$$\text{cond}(A) = \|A\| \cdot \|A^{-1}\|$$

**Proposition 13.1.10** Soit  $A$  une matrice inversible et  $b \in \mathbb{R}^n, b \neq 0$ .

① Si  $Ax = b$  et  $A(x + \delta x) = b + \delta b$ , alors on a

$$\frac{\|\delta x\|}{\|x\|} \leq \text{cond}(A) \frac{\|\delta b\|}{\|b\|}.$$

② Si  $Ax = b$  et  $(A + \delta A)(x + \delta x) = b$ , alors on a

$$\frac{\|\delta x\|}{\|x + \delta x\|} \leq \text{cond}(A) \frac{\|\delta A\|}{\|A\|}.$$

# Exemple

$$A = \begin{pmatrix} 10 & 7 & 8 & 7 \\ 7 & 5 & 6 & 5 \\ 8 & 6 & 10 & 9 \\ 7 & 5 & 9 & 10 \end{pmatrix}, \quad b = \begin{pmatrix} 32 \\ 23 \\ 33 \\ 31 \end{pmatrix}, \quad x = \begin{pmatrix} 1 \\ 1 \\ 1 \\ 1 \end{pmatrix}$$

mais

$$b = \begin{pmatrix} 32.1 \\ 22.9 \\ 33.1 \\ 30.9 \end{pmatrix}, \quad x = \begin{pmatrix} 9.2 \\ -12.6 \\ 4.5 \\ -11 \end{pmatrix}$$

# Exemple

$$A = \begin{pmatrix} 10 & 7 & 8 & 7 \\ 7 & 5 & 6 & 5 \\ 8 & 6 & 10 & 9 \\ 7 & 5 & 9 & 10 \end{pmatrix}, \quad b = \begin{pmatrix} 32 \\ 23 \\ 33 \\ 31 \end{pmatrix}, \quad x = \begin{pmatrix} 1 \\ 1 \\ 1 \\ 1 \end{pmatrix}$$

mais

$$b = \begin{pmatrix} 32.1 \\ 22.9 \\ 33.1 \\ 30.9 \end{pmatrix}, \quad x = \begin{pmatrix} 9.2 \\ -12.6 \\ 4.5 \\ -11 \end{pmatrix}$$

## Démonstration.

- 1  $A\delta x = \delta b$  donc  $\|\delta x\| \leq \|A^{-1}\| \|\delta b\|$ .
- 2  $A\delta x = -\delta A(x + \delta x)$ , donc  $\|\delta x\| \leq \|A^{-1}\| \|\delta A\| \|x + \delta x\|$ .

## Exercice.

Si  $A$  est symétrique réelle définie positive, on trouve

$$\text{cond}_2(A) = \frac{\lambda_n(A)}{\lambda_1(A)},$$

où  $0 < \lambda_1(A) \leq \dots \leq \lambda_n(A)$  sont les valeurs propres de  $A$ .



Pour les éléments finis  $\mathbb{P}_1$  appliqués au Laplacien, la matrice de rigidité est

$$\mathcal{K}_h = h^{-1} \begin{pmatrix} 2 & -1 & & & 0 \\ -1 & 2 & -1 & & \\ & \ddots & \ddots & \ddots & \\ & & -1 & 2 & -1 \\ 0 & & & -1 & 2 \end{pmatrix},$$

dont le conditionnement est  $\text{cond}_2(\mathcal{K}_h) \approx \frac{4}{\pi^2 h^2}$  pour  $h \approx 0$ .

**La matrice de rigidité  $\mathcal{K}_h$  est mal conditionnée.**

Il faut faire attention à la **stabilité** dans la résolution des systèmes linéaires issus de la méthode des éléments finis.

## 13.1.3 Méthodes directes

Matrice réelle inversible  $A$  d'ordre  $n$ .

- Elimination de Gauss.
- Factorisation LU.
- Factorisation de Cholesky pour les matrices symétriques.

**Caractéristiques:**

- Mémoire requise: de l'ordre de  $n^2$  réels.
- Temps nécessaire: de l'ordre de  $n^3$  opérations arithmétiques.

**Avantage:** simple, robuste, précis.

**Inconvénient:** trop chères, voire impossibles, si  $n$  est grand (ce qui est systématique en 3-D).

Il s'agit de la méthode d'élimination de Gauss sans pivot.

**Proposition 13.1.15** Soit une matrice  $A = (a_{ij})_{1 \leq i, j \leq n}$  d'ordre  $n$ . Sous une hypothèse technique (vérifiée si  $A$  est définie positive), il existe un unique couple de matrices triangulaires  $(L, U)$  tel que  $A = LU$  avec

$$L = \begin{pmatrix} 1 & 0 & \dots & 0 \\ l_{2,1} & \ddots & \ddots & \vdots \\ \vdots & \ddots & \ddots & 0 \\ l_{n,1} & \dots & l_{n,n-1} & 1 \end{pmatrix}, \quad U = \begin{pmatrix} u_{1,1} & \dots & \dots & u_{1,n} \\ 0 & u_{2,2} & & \vdots \\ \vdots & \ddots & \ddots & \vdots \\ 0 & \dots & 0 & u_{n,n} \end{pmatrix}.$$

Intérêt: il est facile de résoudre des systèmes triangulaires.

$$A = LU \Rightarrow a_{i,j} = \sum_{k=1}^n l_{i,k} u_{k,j} = \sum_{k=1}^{\min(i,j)} l_{i,k} u_{k,j}.$$

Au fur et à mesure qu'on lit les colonnes de  $A$ , on en déduit les coefficients des colonnes de  $L$  et de  $U$ .

**Par récurrence:** on a déjà calculé les colonnes 1 à  $j - 1$  de  $L$  et de  $U$ .

**Colonne  $j$  de  $A$ :** on calcule la  $j$ -ème colonne de  $L$  et de  $U$

$$\begin{array}{ll} a_{1,j} = l_{1,1}u_{1,j} & \Rightarrow u_{1,j} = a_{1,j} \\ \vdots & \vdots \\ a_{j,j} = l_{j,1}u_{1,j} + \cdots + l_{j,j}u_{j,j} & \Rightarrow u_{j,j} = a_{j,j} - \sum_{k=1}^{j-1} l_{j,k}u_{k,j} \\ \\ a_{j+1,j} = l_{j+1,1}u_{1,j} + \cdots + l_{j+1,j}u_{j,j} & \Rightarrow l_{j+1,j} = \frac{a_{j+1,j} - \sum_{k=1}^{j-1} l_{j+1,k}u_{k,j}}{u_{jj}} \\ \vdots & \vdots \\ a_{n,j} = l_{n,1}u_{1,j} + \cdots + l_{n,j}u_{j,j} & \Rightarrow l_{n,j} = \frac{a_{n,j} - \sum_{k=1}^{j-1} l_{n,k}u_{k,j}}{u_{jj}} \end{array}$$

# Compte d'opérations

Pour  $n$  grand on ne compte que les multiplications ou divisions.

- factorisation LU : le nombre d'opérations  $N_{op}$  est

$$N_{op} = \sum_{j=1}^{n-1} \sum_{i=j+1}^n (1 + \sum_{k=j+1}^n 1),$$

qui, au premier ordre, donne  $N_{op} \approx n^3/3$ .

- substitution (ou remontée-descente sur les deux systèmes triangulaires) : le nombre d'opérations  $N_{op}$  est

$$N_{op} = 2 \sum_{j=1}^n j,$$

qui, au premier ordre, donne  $N_{op} \approx n^2$ .

**Proposition 13.1.19** Soit  $A$  une matrice **symétrique réelle, définie positive**. Il existe une unique matrice réelle  $B$  triangulaire inférieure, telle que tous ses éléments diagonaux soient positifs, et qui vérifie

$$A = BB^*.$$

$$A = \begin{pmatrix} b_{1,1} & 0 & \dots & 0 \\ b_{2,1} & b_{2,2} & \ddots & \vdots \\ \vdots & \ddots & \ddots & 0 \\ b_{n,1} & \dots & b_{n,n-1} & b_{n,n} \end{pmatrix} \begin{pmatrix} b_{1,1} & \dots & \dots & b_{n,1} \\ 0 & b_{2,2} & & \vdots \\ \vdots & \ddots & \ddots & \vdots \\ 0 & \dots & 0 & b_{n,n} \end{pmatrix}.$$

**Proposition 13.1.39** Soit  $A$  une matrice symétrique définie positive, et  $x_0 \in \mathbb{R}^n$ . Soit  $(x_k, r_k, p_k)$  trois suites définies par les relations de récurrence

$$p_0 = r_0 = b - Ax_0, \text{ et pour } 0 \leq k \begin{cases} x_{k+1} = x_k + \alpha_k p_k \\ r_{k+1} = r_k - \alpha_k A p_k \\ p_{k+1} = r_{k+1} + \beta_k p_k \end{cases}$$

avec

$$\alpha_k = \frac{\|r_k\|^2}{Ap_k \cdot p_k} \text{ et } \beta_k = \frac{\|r_{k+1}\|^2}{\|r_k\|^2}.$$

Alors, la suite  $(x_k)_{k \geq 0}$  converge en moins de  $n$  itérations vers la solution exacte de  $Ax = b$

Méthode la plus efficace (avec un préconditionnement pour converger plus vite).